

УДК 535.37

©1994

ОСОБЕННОСТИ ОПТИКО-СПЕКТРАЛЬНЫХ ХАРАКТЕРИСТИК СИСТЕМЫ CdI₂-PbI₂

Н.К.Глосковская, И.В.Китык, Л.И.Ярицкая

Для кристаллической системы CdI₂-PbI₂ с содержанием свинца от 0.16 до 9.6% проведен рентгеноструктурный анализ содержания различных кристаллических компонент, измерены спектры возбуждения и люминесценции при 90 K. Кроме того, получены спектры люминесценции 2H- и 4H-политипов PbI₂ в области 1.6-3.1 eV. Для проведения оценок спектроскопии соответствующих центров в кристаллической системе CdI₂-PbI₂ осуществлены самосогласованные расчеты, в которых для каждого из кристаллических компонент строилась расширенная элементарная ячейка. В качестве базиса выбраны валентные орбитали 5s, 5p_{Cd}; 5s, 5p_I; 6s, 6p_{Pb}. Сделан вывод о том, что обусловленные примесью свинца активаторные центры люминесценции в кристаллической системе CdI₂-PbI₂ имеют структуру прослоек 2H- и 4H-микрофазы PbI₂; при содержании примеси более 10 mol% преобладающими становятся включения 4H-PbI₂ в кристаллической решетке 4H-CdI₂.

Исследование твердых растворов привлекает к себе внимание в связи с возможностью создания материалов с контролируемым изменением физических свойств. Слоистые кристаллы представляют в этом отношении особенный интерес.

Исходя из фазовой диаграммы [1], общепринятым было представление о том, что соединения CdI₂ и PbI₂ образуют твердые растворы замещения, что согласуется с близостью параметров кристаллической решетки: $a = 4.24$, $c = 6.84$ Å для CdI₂ и $a = 4.56$, $c = 6.96$ Å для PbI₂ при одинаковом структурном типе решеток.

Исследования спектров комбинационного рассеивания [2] показали, что твердые растворы Pb_xCd_{1-x}I₂ при $x > 0.1$ образуются путем перемешивания слоев исходных материалов.

В работе [3] нами было высказано предположение о возможности образования в таких твердых растворах при $10^{-7} \leq x < 0.1$ центров люминесценции в виде прослоек типа 2H-PbI₂. Данная работа является продолжением этих исследований.

Кристаллы для исследований выращивались методом Стокбаргера в запаянных ампулах. В шихту CdI₂ при выращивании кристаллов входило 1, 2, 5 и 10 mol% PbI₂. Общее количество свинца в выращенных кристаллах контролировалось с помощью микрорентгеновского микроанализатора MRA-12 С с точностью не менее $10^{-4}\%$. Контроль содержания различных кристаллических компонент осуществлялся с помощью рентгеновского дифрактометра ДРОН-05. При этом идентификация проводилась по наличию рефлексов, соответствующих Cd_xPb_{1-x}I₂, PbI₂, CdI₂. Отмечалось, что с увеличением концен-

трации примеси PbI_2 в выращенных кристаллах возрастает относительное количество вошедшего в кристалл свинца: для первого кристалла эта величина составила 0.16%, для последнего — 9.6%. Установлено, что в среднем треть встроившегося в кристалл свинца находится в виде соединения PbI_2 .

Образцы для исследований представляли собой естественные скопы кристаллов. Спектры возбуждения регистрировались при помощи монохроматора ДМР-4 и светофильтров. Источником возбуждения служила лампа ДКсЭл-500. Спектры люминесценции исследовались на установке с монохроматорами ДМР-4 и УМ-2.

При расчетах кластерным методом выбирался молекулярный фрагмент монокристаллов CdI_2 , легированных свинцом. При этом выбирались два типа центров в зависимости от рентгеноструктурных данных. Для первого типа рассматривались отдельные монокристаллы PbI_2 , внедренные в межслоевое пространство. Для второго типа рассматривались отдельные ионы свинца. Вклад каждого из типов строился в зависимости от рентгеноструктурных данных. При этом строился структурный базисный фрагмент, в котором число ближайших координационных сфер изменялось в пределах от трех до пяти. Учет взаимодействия выбранного кластера с оставшимися атомами решетки осуществлялся по теории возмущений. Размеры соответствующего секулярного уравнения в методе сильной связи колебались в пределах от 28×28 до 135×135 . Учет экранировок (пуассоновской поправки и слэтеровского обмена) осуществлялся по заряду. При этом в рамках кластера осуществлялись поправки, связанные с неоднородностью замещения.

Главным критерием выбора того или иного кластера служил кристаллохимический принцип, позволивший отделить вклад близкодействующих и дальнодействующих сил по методике, подробно описанной в [4–6]. В начале расчетов межкластерным взаимодействием пренебрегали. Однако при увеличении концентрации кластеров происходило их дальнейшее перекрытие, которое вело к некоторой делокализации соответствующих кластерных волновых функций. При этом предполагалась равномерность размещения кластеров. Для лучшей сходимости валентные орбитали предварительно ортогонализовались к остовым функциям. За счет значительного ван-дер-ваальсовского взаимодействия интегралами переноса в методе ЛКАО пренебрегали. При этом преимущественно учитывались связи $5p_z I - 6s, pPb$, а также $5sI - 5sPb$ и по теории возмущений орбитали $5pCd, 4dCd, 5sCd$. Учет возбужденных состояний осуществлялся до $6s, pCd, 6pI, 6s, pPb$ орбиталей включительно, самосогласование осуществлялось по эффективным зарядам, экранировка осуществлялась с помощью кулоновского и обменно-корреляционного слэтеровского потенциалов в приближении локальной плотности

$$V_{scr}(r) = -\frac{2}{r} \int_0^r \sigma(r') dr' - 2 \int_r^\infty \sigma(r') dr'/r' - 6 \left[-\frac{3}{8\pi} \rho(r) \right]^{1/3}, \quad (1)$$

где

$$\sigma(r) = - \sum_{\lambda'} \rho(\lambda') [Rn\lambda'(r)]^2,$$

$Rn\lambda'$ — радиальная функция, определяемая согласно [7]; $\rho(r)$ — электронная плотность.

Матричные элементы имели вид

$$\langle \chi_{\mathbf{k},q} | H - E(\mathbf{k}) | \chi_{\mathbf{k},q'} \rangle = [E_a - E(\mathbf{k})] \sigma_{qq'} + \sum_{\tau_q \neq 0} \exp(-i\mathbf{k}\tau_q) S_{qq'} + \\ + B_{qq'} + \sum_{\tau_q \neq 0} \exp(-i\mathbf{k}\tau_q) A_{qq'},$$

где

$$S_{qq'} = \langle k|r', \mathbf{r} + \mathbf{l} - \mathbf{l}' \rangle, \quad B_{qq'} = \langle n|V(\mathbf{r}) - v_a(r)|n' \rangle,$$

$$A_{qq'} = \langle n|V(\mathbf{r}) - v_a(r)|n', \mathbf{r} + \mathbf{l} - \mathbf{l}' \rangle,$$

τ_q — векторы трансляции; \mathbf{r}' — радиус-векторы в элементарной ячейке; E_a — энергия атомного терма; q, q' — орбитали перекрывающихся атомов; $V(\mathbf{r})$ — сумма потенциалов, действующих на атом a с потенциалом $v_a(r)$.

Использование теоретико-группового анализа позволяло значительно сократить размеры соответствующей эрмитовой матрицы. Для большинства исследуемых соединений они не превышали 25×25 . Поскольку концентрация свинца не превышала 10% в весовом соотношении, а PbI_2 помещали в две октаэдрические ван-дер-ваальсовские пустоты в CdI_2 , мы рассматривали поведение активаторных уровней в локальном приближении, т.е. пренебрегали дисперсией $E(\mathbf{k})$. Для расчетов электронной плотности $\rho(r)$ осуществлялось суммирование по 16 специальным точкам зоны Бриллюэна. Хорошая стабилизация (до 0.2 eV) получалась при общем количестве базисных блоховских функций до 258. Диагонализация проводилась QL -методом.

На следующем этапе учитывалось электрон-фононное возмущение активаторных центров по методике, описанной в [8]. При этом суммирование проводилось более чем в 8600 точках зоны Бриллюэна.

На рис. 1,а приведены результаты теоретически рассчитанных спектров поглощения кристаллов системы $\text{CdI}_2-\text{PbI}_2$ с различным содержанием примеси свинца (для $T = 300$ K). В эксперименте нами использована более чувствительная люминесцентная методика. На рис. 1,б приведены спектры возбуждения свечения в области 1.78 eV (кривая 1) и 1.87 eV (кривая 2) для кристалла CdI_2 с максимальной концентрацией примеси свинца при 90 K. Кроме интенсивного максимума возбуждения в области 3.06 eV, который присутствует на обеих кривых, наблюдаются также максимумы в областях 2.66 eV (кривая 1) и 2.85 eV (кривая 2), положение которых с учетом температурного смещения хорошо соглашается с теоретическими данными (кривая 5 на рис. 1,а).

О совпадении теоретических расчетов с экспериментальными результатами свидетельствует также наличие неэлементарной полосы поглощения в области 3.17–3.21 eV (кривая 2 на рис. 1,а), свойства которой подробно описаны авторами [9].

Таким образом, сравнение экспериментально полученных спектров поглощения [3] и возбуждения (рис. 1,б) кристаллов $\text{CdI}_2-\text{PbI}_2$ с теоретически рассчитанными (рис. 1,а) свидетельствует о их хорошем

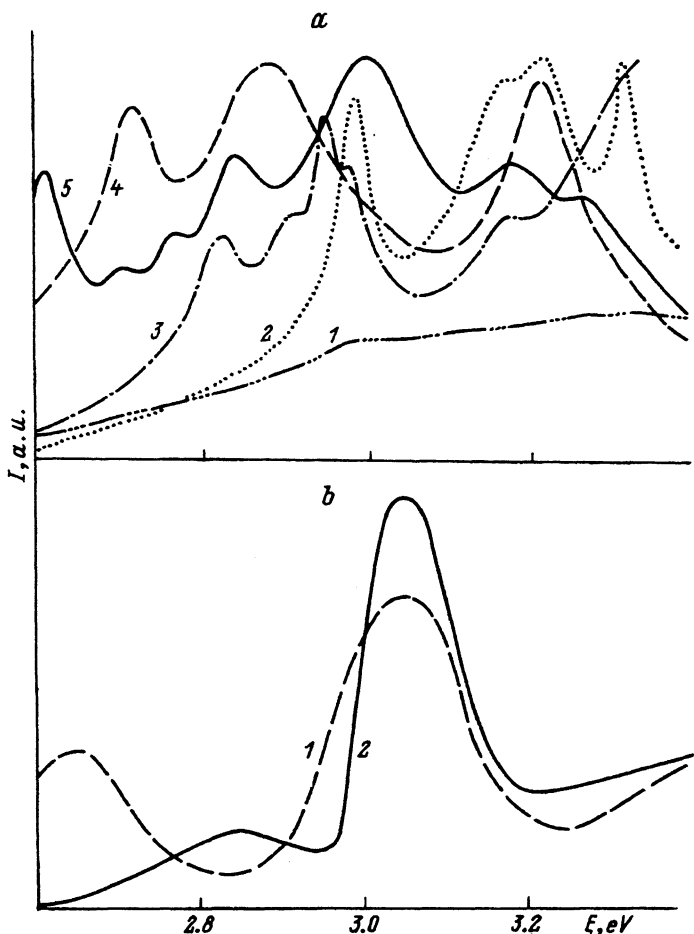


Рис. 1. а) Теоретически рассчитанные спектры поглощения кристаллов CdI_2 (1), $\text{CdI}_2-0.0016\text{PbI}_2$ (2), $\text{CdI}_2-0.007\text{PbI}_2$ (3), $\text{CdI}_2-0.029\text{PbI}_2$ (4), $\text{CdI}_2-0.096\text{PbI}_2$ (5). б) Спектры возбуждения люминесценции кристаллов $\text{CdI}_2-0.096\text{PbI}_2$ при 90 К (1 — $E = 1.78$, 2 — 1.87 еВ).

соответствии. Вместе с тем следует отметить, что величина коэффициента поглощения в области $E < 2.9$ еВ на эксперименте оказалась значительно ниже коэффициентов поглощения активаторных полос в области $E > 2.9$ еВ. В теоретических расчетах эти коэффициенты соизмеримы, очевидно, вследствие того, что не было учтено межконфигурационное взаимодействие.

Поскольку в работе [3] нами было высказано предположение о связи активаторных полос поглощения и возбуждения в системе $\text{CdI}_2-\text{PbI}_2$ с прослойками фазы PbI_2 и проведенный рентгеноструктурный анализ подтвердил это, мы сравнили полученные нами спектры кристаллов $\text{CdI}_2-\text{PbI}_2$ со спектрами ультратонких слоев PbI_2 [10].

В пленках PbI_2 толщиной между 10.5 и 24.5 Å авторы [10] наблюдали появление полосы поглощения 2.62 еВ при 100 К, которую сопоставили с экситонным образованием в двух слоях PbI_2 . Экспериментальное

значение максимума полосы возбуждения (кривая 1 на рис. 1,*b*) соответствует 2.66 eV (90 K). Полученное нами из теоретических расчетов (кривая 5 на рис. 1,*a*) положение низкоэнергетической полосы поглощения при 300 K составляет 2.62 eV. Учитывая температурное смещение полосы поглощения, а также влияние кристаллического поля решетки CdI₂, мы предположили, что наиболее низкоэнергетическая полоса возбуждения (поглощения) в кристаллах CdI₂ с большой концентрацией PbI₂ может соответствовать экситонному образованию в двух слоях PbI₂, описанному авторами [10].

Специфика исследуемых нами объектов состоит в том, что кристаллическая структура матрицы CdI₂ соответствует 4H-гексагональной упаковке, а наиболее стойким политипом PbI₂ является 2H-политип. Поэтому следующим встал вопрос о политипном составе этого двухслойного образования PbI₂ в решетке CdI₂, для решения которого нами были проведены сравнения люминесцентных характеристик исследуемых кристаллов CdI₂–PbI₂ со спектрами люминесценции 2H- и 4H-политипов PbI₂.

Из работы [11] известно, что фазовый переход 2H → 4H-PbI₂ можно осуществить термическим способом. Изменение люминесцентных свойств кристаллов PbI₂ при этом представлено на рис. 2,*b*. Видно, что спектр люминесценции исходного кристалла 2H-PbI₂ представлен в основном полосой 1.82 eV (кривая 1); политип 4H-PbI₂ (кривая 2) имеет характерную полосу фотolumинесценции 2.14 eV. Появление полосы 2.10 eV при термической обработке кристаллов PbI₂ наблюдали и авторы [12].

На рис. 2,*a* представлены спектры люминесценции кристаллов с различным содержанием PbI₂. Характерной особенностью спектров кристаллов с меньшим содержанием PbI₂ является наличие двух полос люминесценции в области 2.21 и 1.86 eV (кривая 1 на рис. 2,*a*) при

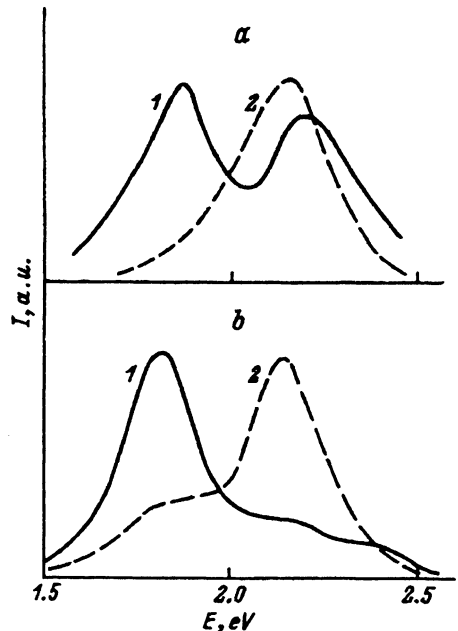


Рис. 2. Спектры люминесценции кристаллов:
а) CdI₂–0.029PbI₂ (1), CdI₂–0.096PbI₂ (2);
б) 2H-PbI₂ (1), 4H-PbI₂ (2) при возбуждении
 $E = 3.26$ eV при 90 K.

возбуждении в пределах низкоэнергетической активаторной полосы. При этих же условиях в спектрах фотолюминесценции кристаллов с большим содержанием PbI₂ наблюдается одна полоса люминесценции 2.16 eV (кривая 2 на рис. 2,*a*). .

Сравнение результатов люминесцентных исследований (рис. 2,*a*, *b*) позволяет заключить, что прослойка фазы PbI₂ при малом содержании их в кристаллах CdI₂ может иметь структуру 2H-политипа; при возрастании содержания PbI₂ в матрице 4H-CdI₂ микрофаза PbI₂ встраивается в виде 4H-политипа.

Таким образом, в результате оптико-люминесцентных и рентгеноструктурных исследований кристаллов CdI₂-PbI₂ и сравнения их данных с теоретически рассчитанными спектрами поглощения и люминесцентными характеристиками 2H- и 4H-политипов PbI₂ сделан вывод о том, что обусловленные примесью свинца активаторные центры люминесценции в кристаллической системе CdI₂-PbI₂ имеют структуру прослоек 2H- и 4H-политипов микрофазы PbI₂; при содержании примеси более 10 mol% преобладающими становятся включения 4H-PbI₂ в кристаллической решетке 4H-CdI₂.

Список литературы

- [1] Белоцкий Д.П., Сушкевич Т.Н., Лютер Я.А. // Неорг. материалы. 1974. Т. 10. № 10. С. 1899.
- [2] Артамонов В.В., Валах М.Я., Корнейчук В.А. и др. // УФЖ. 1982. Т. 27. № 7. С. 1046-1050.
- [3] Глосковская Н.К., Ярицкая Л.И., Турчак Р.М. // УФЖ. 1990. Т. 35. № 3. С. 364-366.
- [4] Китык И.В. // УФЖ. 1991. Т. 36. № 7. С. 1014-1023.
- [5] Китык И.В. // ФТТ. 1991. Т. 33. № 6. С. 1826-1833.
- [6] Dovgii Ya.O., Kityk I.V. // Phys. Stat. Sol. 1991. V. 166B. N 2. P.395-402.
- [7] Herman F., Skillman S. Atomic Structure Calculation. N.Y., 1963.
- [8] Антоняк О.Т., Китык И.В., Пидзырайло Н.О. // Опт. и спектр. 1987. Т. 63. № 3. С. 529-534.
- [9] Goto T., Ueta M. // J. Phys. Soc. Japan. 1970. V. 29. N 6.
- [10] Goto T., Maeda J. // J. Phys. Soc. Japan. 1987. V. 56. N 10. P. 3710-3714.
- [11] Blonskii I.V., Mizrukhin L.V., Tischenko V.V. // Phys. Stat. Sol. 1980. V. 57. N 2. P. K113-K117.
- [12] Baltog I., Constantinesky M., Ghita C., Ghita L. // Phys. Stat. Sol. (a). 1975. V. 27. P. K39-K41.

Львовский государственный
университет им. И.Франко

Поступило в Редакцию
12 июля 1993 г.
В окончательной редакции
6 декабря 1993 г.